
RED DE SEGUIMIENTO DE MASAS DE AGUA MUY MODIFICADAS

DEMARCACIÓN HIDROGRÁFICA DEL EBRO

INFORME FINAL DEL EMBALSE DE SAN LORENZO



ÁREA DE CALIDAD DE AGUAS
CONFEDERACIÓN HIDROGRÁFICA DEL EBRO

RED DE SEGUIMIENTO DE MASAS DE AGUA MUY MODIFICADAS

DEMARCACIÓN HIDROGRÁFICA DEL EBRO

PROMOTOR:



CONFEDERACIÓN HIDROGRÁFICA DEL EBRO

SERVICIO:

CONTROL DEL ESTADO ECOLÓGICO

DIRECCIÓN DEL PROYECTO:

Concha Durán Lalaguna y María José Rodríguez Pérez

EMPRESA CONSULTORA:

Instituto Cavanilles de Biodiversidad y Biología Evolutiva de la Universidad de Valencia Estudi General

EQUIPO DE TRABAJO:

Área de Limnología, dirigida por Dr. Eduardo Vicente Pedrós, Catedrático de Ecología. Director del Estudio.

PRESUPUESTO DE LA ADJUDICACIÓN:

70.590,38 €

CONTENIDO:

INFORME INDIVIDUAL DEL EMBALSE DE SAN LORENZO

AÑO DE EJECUCIÓN:

2015

FECHA ENTREGA:

DICIEMBRE 2015

REFERENCIA IMÁGENES PORTADA:

Vista de la presa del embalse de San Lorenzo desde el punto de muestreo.

CITA DEL DOCUMENTO: Confederación Hidrográfica del Ebro (2015). Red de seguimiento de masas de agua muy modificadas en la Demarcación Hidrográfica del Ebro. 208 págs. más anejos. Disponible en PDF en la web: <http://www.chebro.es>

El presente informe pertenece al Dominio Público en cuanto a los Derechos Patrimoniales recogidos por el Convenio de Berna. Sin embargo, se reconocen los Derechos de los Autores y de la Confederación Hidrográfica del Ebro a preservar la integridad del mismo, las alteraciones o la realización de derivados sin la preceptiva autorización administrativa con fines comerciales, o la cita de la fuente original en cuanto a la infracción por plagio o colusión. A los efectos prevenidos, las autorizaciones para uso no científico del contenido deberán solicitarse a la Confederación Hidrográfica del Ebro.

ÍNDICE

	Página
1. INTRODUCCIÓN.....	6
2. DESCRIPCIÓN GENERAL DEL EMBALSE Y DE LA CUENCA VERTIENTE	6
2.1. <i>Ámbito geológico y geográfico.....</i>	<i>6</i>
2.2. <i>Características morfométricas e hidrológicas</i>	<i>7</i>
2.3. <i>Usos del agua</i>	<i>8</i>
2.4. <i>Registro de zonas protegidas</i>	<i>8</i>
3. TRABAJOS REALIZADOS.....	9
4. DIAGNÓSTICO DE LA SITUACIÓN ACTUAL.....	10
4.1. <i>Características fisicoquímicas de las aguas</i>	<i>10</i>
4.2. <i>Hidroquímica del embalse</i>	<i>13</i>
4.3. <i>Fitoplancton y concentración de clorofila</i>	<i>14</i>
4.4. <i>Zooplancton.....</i>	<i>18</i>
5. DIAGNÓSTICO DEL GRADO TRÓFICO	19
6. DIAGNÓSTICO DEL POTENCIAL ECOLÓGICO	21
ANEXO I. REPORTAJE FOTOGRÁFICO	

ÍNDICE DE FIGURAS Y TABLAS

ÍNDICE DE FIGURAS CORRESPONDIENTES A GRÁFICOS Y FOTOS

Figura 1. Volumen embalsado y salida durante el año hidrológico 2014-2015	8
Figura 2. Localización de la estación de muestreo en el embalse.	9
Figura 3. Perfil vertical de la temperatura y pH	10
Figura 4. Perfil vertical de la extinción luminosa y oxígeno disuelto	11
Figura 5. Perfil vertical de la conductividad	12
Figura 6. Perfil vertical de la clorofila <i>a</i>	15
Figura 7. Fotografía de la cola del embalse	27
Figura 8. Fotografía del punto de acceso al embalse	27

ÍNDICE DE TABLAS

Tabla 1. Características morfométricas del embalse de San Lorenzo	7
Tabla 2. Estructura y composición de la comunidad de fitoplancton.....	14
Tabla 3. Composición detallada de la comunidad de fitoplancton.....	15
Tabla 4. Estructura y composición de la comunidad de zooplancton.....	18
Tabla 5. Composición detallada de la comunidad de zooplancton.....	19
Tabla 6. Parámetros indicadores y rangos de estado trófico.	20
Tabla 7. Diagnóstico del estado trófico del embalse de San Lorenzo.....	20
Tabla 8. Parámetros y rangos para la determinación del potencial ecológico experimental.	21
Tabla 9. Combinación de los indicadores.	22
Tabla 10. Diagnóstico del potencial ecológico del embalse de San Lorenzo.....	22
Tabla 11. Valores de referencia propios del tipo (VR_i) y límites de cambio de clase de potencial ecológico de los indicadores de los elementos de calidad de embalses (RD 817/2015).	23
Tabla 12. Parámetros, rangos del RCE y valores para la determinación del potencial ecológico normativo.	24
Tabla 13. Combinación de los indicadores.	24
Tabla 14. Diagnóstico del potencial ecológico (PE_{norm}) del embalse de San Lorenzo.	25

1. INTRODUCCIÓN

El presente documento recoge los resultados de los trabajos realizados en el embalse de San Lorenzo durante los muestreos de 2015 y la interpretación de los mismos, a efectos de proporcionar una referencia que facilite la consulta y explotación de la información obtenida.

En general, se recurre a presentaciones gráficas y sintéticas de la información, acompañadas de un texto conciso, lo que permitirá una consulta ágil y rápida del documento.

En el **Anexo I** se presenta un reportaje fotográfico que refleja el estado del embalse durante el periodo estudiado (verano de 2015, correspondiente al año hidrológico 2014-2015).

En apartados sucesivos se comentan los siguientes aspectos:

- Resultados del estudio en el embalse (FASE DE CARACTERIZACIÓN) de todos los aspectos tratados (hidrológicos, fisicoquímicos y biológicos), que culminan en el diagnóstico del grado trófico.
- Clasificación del “Potencial Ecológico”, tras la aplicación de los indicadores biológicos y fisicoquímicos propuestos en la Directiva Marco del Agua.

2. DESCRIPCIÓN GENERAL DEL EMBALSE Y DE LA CUENCA VERTIENTE

2.1. Ámbito geológico y geográfico

El embalse de San Lorenzo se sitúa dentro del término municipal de Camarasa, en la provincia de Lleida. Regula las aguas del río Segre.

Respecto a la geología de la zona, el embalse se encuentra entre materiales de la facies Keuper (arcillas versicolores y yesos), del Jurásico indiferenciado (dolomías, calizas, margas y calcarenitas) y del Paleógeno (facies Garum, intercalaciones de calizas lacustres y lignito; y Oligoceno, areniscas y lutitas). Además, se localizan depósitos aluviales de gravas; arenas; limos y arcillas.

2.2. Características morfométricas e hidrológicas

Se trata de un embalse de moderadas dimensiones.

La cuenca vertiente al embalse de San Lorenzo tiene una superficie total de 6845 ha.

El embalse tiene una capacidad total de 9,48 hm³. Caracterizado por una profundidad máxima de 25 metros.

En la tabla 1 se presentan las características morfométricas del embalse.

Tabla 1. Características morfométricas del embalse de San Lorenzo

Superficie de la cuenca	68,45 km ²
Capacidad total N.M.N.	9,48 hm ³
Superficie inundada	147 ha

Tipo de clasificación: 11. Monomítico, calcáreo de zonas no húmedas, pertenecientes a ríos de la red principal.

Se trata de un embalse monomítico de geología calcárea, situado en zona no húmeda de la red principal. No existe termoclina en el momento del muestreo. El límite inferior de la capa fótica se encuentra alrededor de los 7 metros de profundidad cuando se determina mediante el medidor fotoeléctrico, mientras que el valor estimado mediante el Disco de Secchi fue de 5,5 m.

El tiempo de residencia hidráulica media en el embalse de San Lorenzo para el año hidrológico 2014-2015 fue de 0,08 meses.

En la figura 1 se presentan los valores diarios del volumen embalsado y salida media correspondientes al año hidrológico 2014-2015.

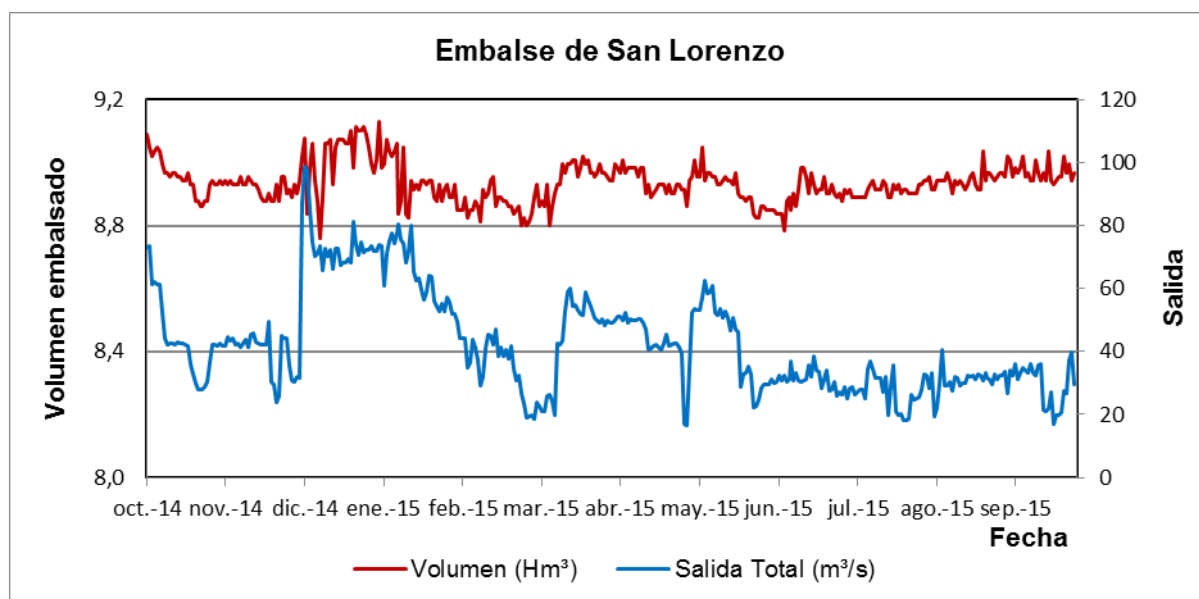


Figura 1. Volumen embalsado y salida durante el año hidrológico 2014-2015.

2.3. Usos del agua

El uso de las aguas del embalse es principalmente el de regadíos y abastecimiento a la población. Asimismo también se usa para uso recreativo (pesca) y la navegación (sin restricciones para el remo, con condiciones poco favorables para la vela, y no es apto para motor) en este embalse.

2.4. Registro de zonas protegidas

El embalse de San Lorenzo forma parte del Registro de Zonas Protegidas elaborado por la Confederación Hidrográfica del Ebro, en contestación al artículo 6 de la Directiva Marco del Agua, en la categoría de zona de captación de agua para consumo humano.

3. TRABAJOS REALIZADOS

Para acometer la caracterización del embalse se ha ubicado una estación de muestreo en las inmediaciones de la presa (ver figura 2). Se ha completado una campaña de muestreo el 28 de Julio de 2015, en la que se midieron *in situ* los parámetros fisicoquímicos y la transparencia en la columna de agua, se tomó una muestra de agua integrada y otras puntuales para los análisis químicos y se realizaron muestreos de fitoplancton y zooplancton.

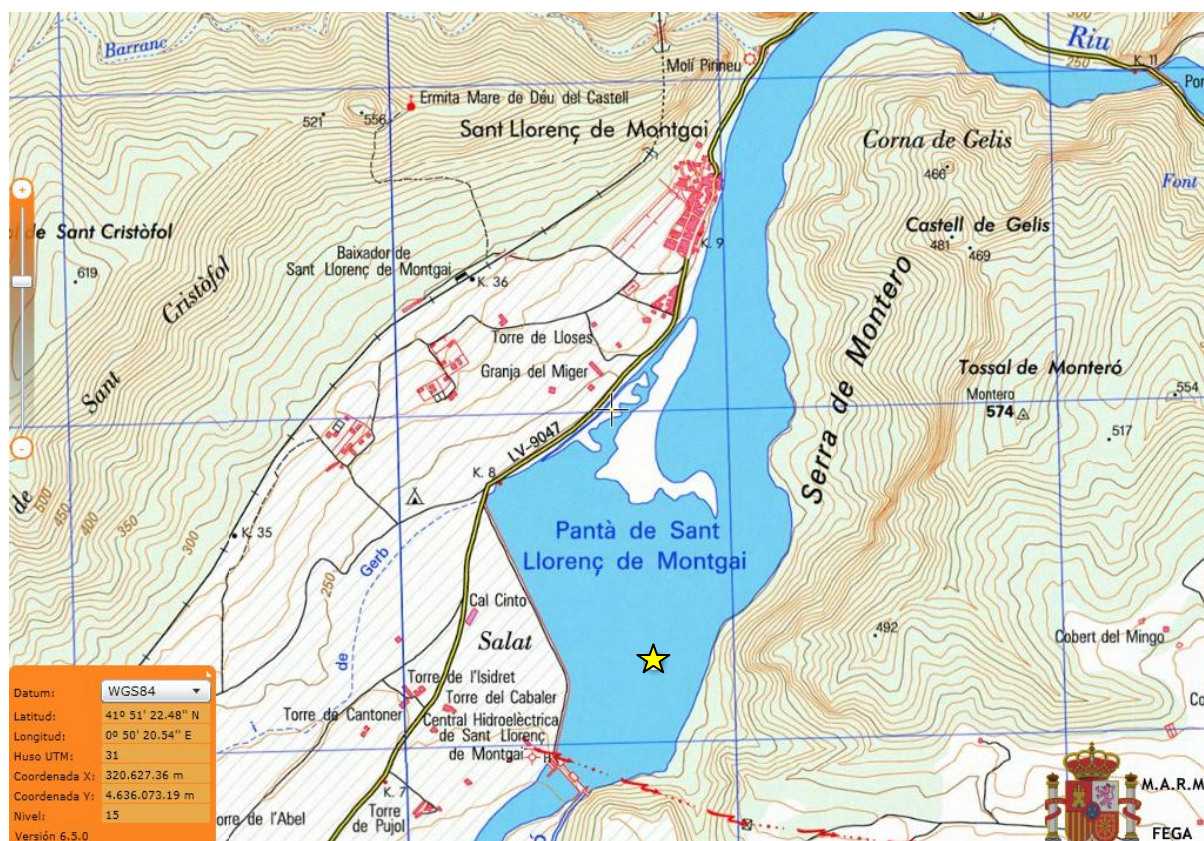
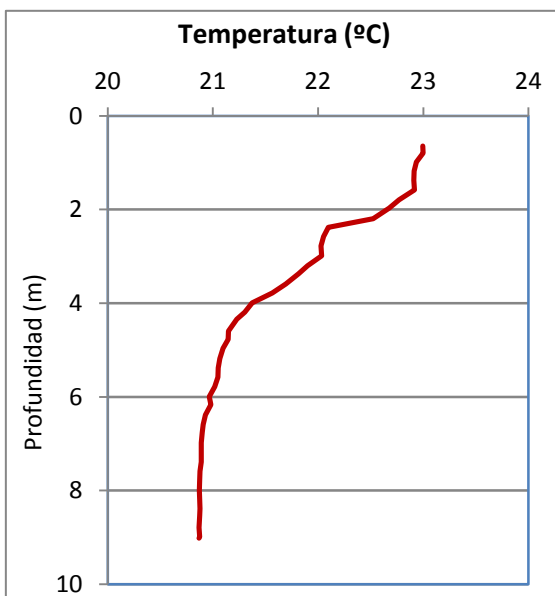


Figura 2. Localización de la estación de muestreo en el embalse.

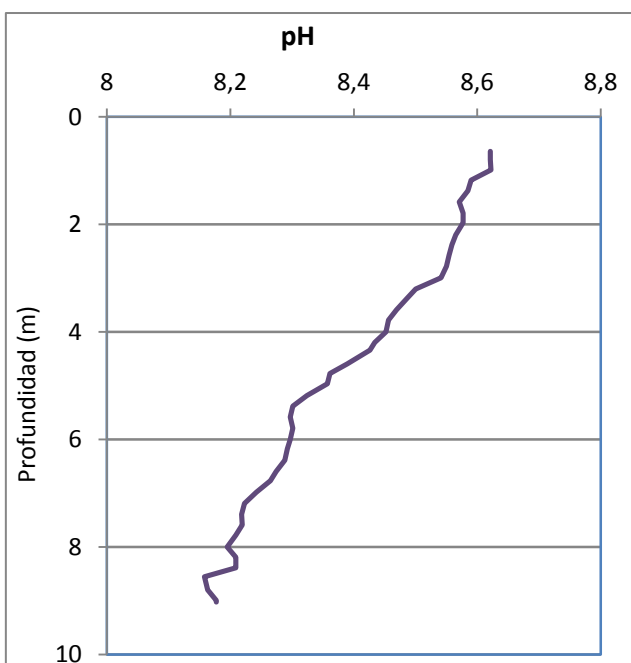
4. DIAGNÓSTICO DE LA SITUACIÓN ACTUAL

4.1. Características fisicoquímicas de las aguas

De los resultados obtenidos se desprenden las siguientes apreciaciones:

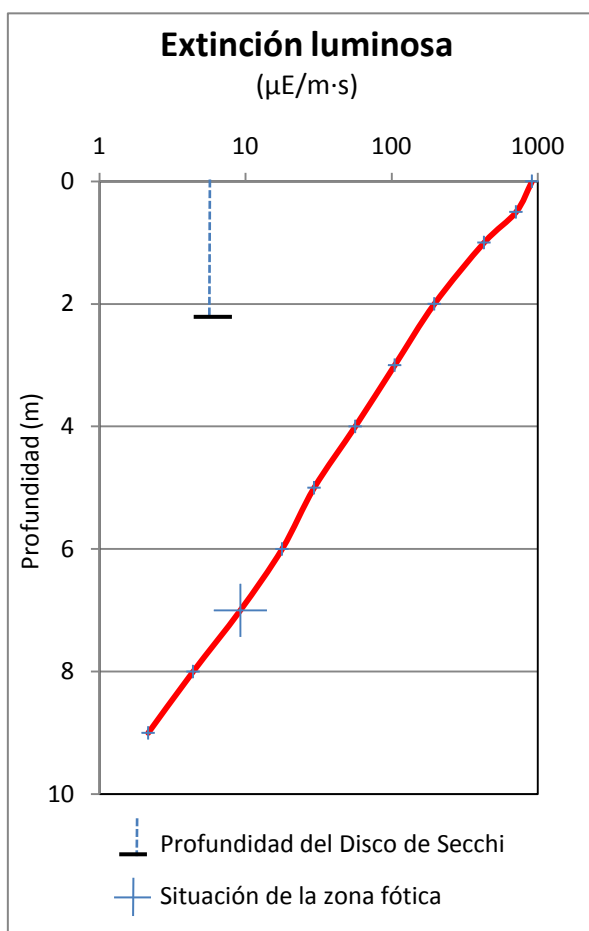


La temperatura del agua oscila entre los 20,87 °C – en el fondo- y los 23,0 °C - máximo registrado en superficie-. En el momento del muestro (Agosto 2015) no existe termoclina.



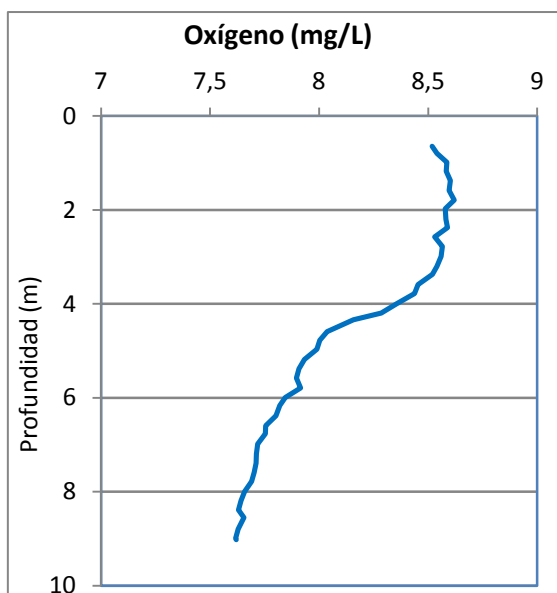
El pH del agua en la superficie es de 8,62, máximo epilimnético estival. En el fondo del embalse el valor del pH es de 8,16, mínimo hipolimnético.

Figura 3. Perfil vertical de la temperatura y pH.



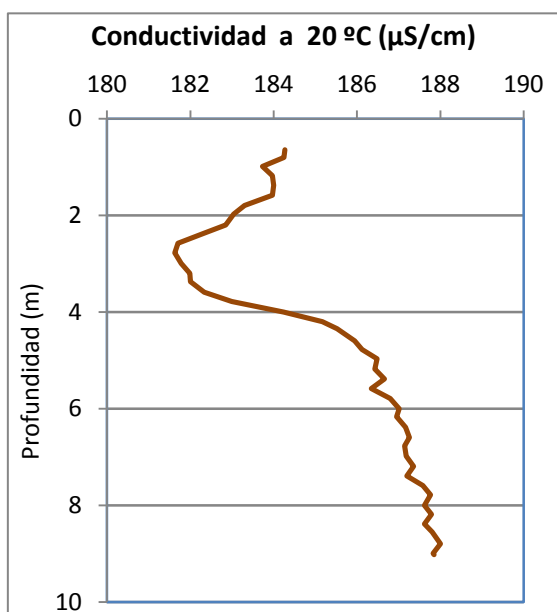
La transparencia del agua registrada en la lectura de disco de Secchi es de 2,20 m, lo que supone una profundidad de la capa fótica de 5,5 metros. Menor que la medición mediante célula fotoeléctrica, que indica una profundidad de la capa fótica de 7 m.

La turbidez media de la zona eufótica (muestra integrada de 7 m de profundidad) fue de 2,79 UAF.



Las condiciones de oxigenación de la columna de agua alcanzan en el muestreo una concentración media de 8,11 mg/L. No se han detectado condiciones anóxicas ($<2 \text{ mg O}_2/\text{L}$).

Figura 4. Perfil vertical de la extinción luminosa y oxígeno disuelto.



La conductividad del agua es de 184 $\mu\text{S}/\text{cm}$ en la superficie y de 187 $\mu\text{S}/\text{cm}$ en el fondo del embalse. El mínimo de conductividad se observa a 2,8 metros de profundidad, con un valor de 181 $\mu\text{S}/\text{cm}$.

Figura 5. Perfil vertical de la conductividad.

4.2. Hidroquímica del embalse

De los resultados analíticos obtenidos en la campaña de 2015 en la muestra integrada, se desprenden las siguientes apreciaciones:

- La concentración de fósforo total (PT) en la muestra integrada (zona fótica) fue de 13,51 $\mu\text{g P/L}$.
- La concentración de P soluble resultó ser de 1,78 $\mu\text{g P/L}$.
- La concentración de nitrógeno total (NT) fue de 0,31 mg N/L.
- La concentración de nitrógeno inorgánico oxidado (nitrito + nitrato, NIO) tomó un valor de 0,27 mg N/L.
- La concentración de amonio (NH_4) fue de 0,022 mg N/L.
- La concentración de sílice tomó un valor de 4,80 mg SiO_2/L .
- La alcalinidad en este embalse (zona fótica) fue de 1,55 meq/L.

4.3. Fitoplancton y concentración de clorofila

En el análisis de fitoplancton se han identificado un total de 49 especies, distribuidas en los siguientes grupos taxonómicos:

BACILLARIOPHYCEAE	15
CHRYSOPHYCEAE	5
XANTHOPHYCEAE	2
CHLOROPHYTA	15
CYANOBACTERIA	2
CRYPTOPHYCEAE	6
DINOPHYCEAE	3
EUGLENOPHYCEAE	1

La estructura de la comunidad de fitoplancton se resume en la tabla 2 y la composición detallada en la tabla 3.

Tabla 2. Estructura y composición de la comunidad de fitoplancton.

PARÁMETRO	UNIDAD	VALOR
Nº CÉLULAS TOTALES	nº cél./ml	1152
BIOVOLUMEN TOTAL	µm³/ml	455368
Diversidad Shannon-Wiener		3,67
CLASE PREDOMINANTE (DENSIDAD)		Bacillariophyceae
Nº células/ml		602
ESPECIE PREDOMINANTE (DENSIDAD)		<i>Fragilaria</i> sp.
Nº células/ml		425
CLASE PREDOMINANTE (BIOVOLUMEN)		Bacillariophyceae
µm³/ml		277206
ESPECIE PREDOMINANTE (BIOVOLUMEN)		<i>Fragilaria</i> sp.
µm³/ml		176425

La concentración de clorofila fue de 3,25 µg/L en la muestra integrada, cuya profundidad se ha señalado en la figura 6 con una línea roja. El perfil vertical realizado mediante fluorimetría muestra un máximo de 4,8 µg/L a 1 metro de profundidad.

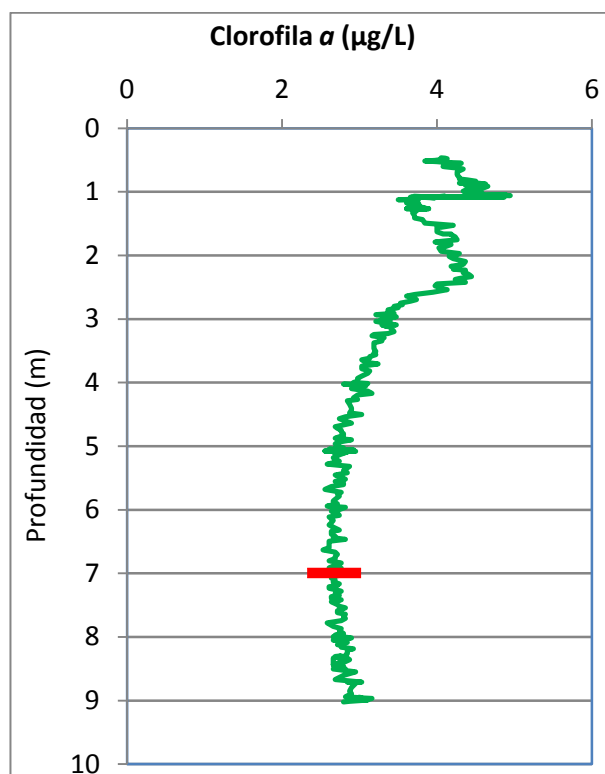


Figura 6. Perfil vertical de la clorofila a.

La composición de la población fitoplanctónica de la muestra integrada de la zona fótica indicando su abundancia y biovolumen, y la densidad cualitativa de la muestra integrada de fitoplancton del muestreo vertical con red de plancton, muestran los resultados de la tabla siguiente:

Tabla 3. Composición detallada de la comunidad de fitoplancton.

COD_EMB_LW	COMPOSICIÓN	ABUNDANCIA	BIOVOLUMEN	CUALITATIVO
	FITOPLANCTON	cél./ml	µm ³ /ml	(1 al 5)
	BACILLARIOPHYCEAE/CENTRALES/			
AULAGRAN0	<i>Aulacoseira granulata</i>	19	19.633	2
AULGRANG2	<i>Aulacoseira granulata</i> var. <i>angustissima</i>	9	3.799	1
AULAAMBI0	<i>Aulacoseira ambigua</i>			2
CYCLOCELO0	<i>Cyclotella ocellata</i> (=Lindavia ocellata)	113	31.341	1
CYCLRADIO0	<i>Cyclotella radiosa</i> (=Lindavia radiosa)	8	8.483	1
MELOVARI0	<i>Melosira varians</i>			1
	BACILLARIOPHYCEAE /PENNALES/			
AMPHOVAL0	<i>Amphora ovalis</i>			1
AMPHPEDIO0	<i>Amphora pediculus</i>	1	304	

COD_EMB_LW	COMPOSICIÓN	ABUNDANCIA	BIOVOLUMEN	CUALITATIVO
	FITOPLANCTON	cél./ml	µm3/ml	(1 al 5)
ASTEFORM0	<i>Asterionella formosa</i>	7	2.605	1
COCCPLAC0	<i>Cocconeis placentula</i>	3	2.611	1
CYMBAFFI0	<i>Cymbella affinis</i>			1
CYMASOLE0	<i>Cymatopleura solea</i>	1	15.013	1
DIATVULG0	<i>Diatoma vulgaris</i>	1	2.481	1
FRAGCROT0	<i>Fragilaria crotonensis</i>	6	4.585	2
FRAGIGEN0	<i>Fragilaria</i> sp.	425	176.425	2
GYROACUM0	<i>Gyrosigma acuminatum</i>	1	5.558	1
NAVICRYH0	<i>Navicula cryptocephala</i>			1
NITZACIC0	<i>Nitzschia acicularis</i>	8	1.889	1
NITZPALE0	<i>Nitzschia palea</i>			1
NITZSIGO0	<i>Nitzschia sigmoidea</i>			1
FRAGULNA0	<i>Ulnaria ulna</i> (=Fragilaria ulna)	1	656	1
	CHRYSOPHYCEAE			
BITRCHOD0	<i>Bitrichia chodatii</i>	3	412	
CHRYOGEN0	<i>Chrysochromulina</i> sp.	22	705	
DINOBAVA0	<i>Dinobryon bavaricum</i>	8	1.372	1
DINOCREN0	<i>Dinobryon crenulatum</i>	2	404	
DINOSERT0	<i>Dinobryon sertularia</i>	55	7.856	3
	XANTHOPHYCEAE			
TRACLENT0	<i>Trachydiscus lenticularis</i>	3	297	
TRACSEXA0	<i>Trachydiscus sexangulatus</i>	2	467	
	CHLOROPHYTA			
CLOSACIR0	<i>Closteriopsis acicularis</i>			1
COELASTR0	<i>Coelastrum astroideum</i>	5	301	1
COENHIND0	<i>Coenochloris hindakii</i>	41	1.372	
CRUCRECT0	<i>Crucigeniella rectangularis</i>	6	403	
CHLAMGEN0	<i>Chlamydomonas</i> sp.	3	566	
DIDYCOMA0	<i>Didymocystis comasii</i>	110	4.155	1
DIDYFINA0	<i>Didymocystis fina</i>	6	66	
ELAKGELA0	<i>Elakathrix gelatinosa</i>			1
COELPOLY0	<i>Hariotina polychorda</i> (=Coelastrum polychordum)			1
COELRETI0	<i>Hariotina reticulata</i> (=Coelastrum reticulatum)			1
MONOARCU0	<i>Monoraphidium arcuatum</i>	2	46	
MONOMINU0	<i>Monoraphidium minutum</i>	3	77	
MONONANU0	<i>Monoraphidium nanum</i>	13	309	
OOCYLACU0	<i>Oocystis lacustris</i>	6	369	1
OOCYMARS0	<i>Oocystis marssonii</i>	3	712	
PEDIBORY0	<i>Pediastrum boryanum</i>	5	2.297	1
SCENBREVO0	<i>Scenedesmus brevispina</i>	13	475	
SCENLINE0	<i>Scenedesmus ellipticus</i> (=Scenedesmus linearis)	6	528	
SCENDISC0	<i>Scenedesmus verrucosus</i> (=Scenedesmus disciformis)			1
SPHAPLAN0	<i>Sphaerocystis planctonica</i>			3
TETRMINI0	<i>Tetraedron minimum</i>	5	295	1
	ZYGNEMATOPHYCEAE			
STAUTETRO0	<i>Staurostrum tetracerum</i>			1
	CYANOBACTERIA			
ANABAGEN0	<i>Anabaena</i> sp.			2
APHASGEN0	<i>Aphanocapsa</i> sp.	79	41	

COD_EMB_LW	COMPOSICIÓN	ABUNDANCIA	BIOVOLUMEN	CUALITATIVO
	FITOPLANCTON	cél./ml	µm ³ /ml	(1 al 5)
MERISGEN0	<i>Merismopedía</i> sp.			1
SNOWARAC0	<i>Snowella arachnoidea</i>	13	7	
	CRYPTOPHYCEAE			
CRYPERSO0	<i>Cryptomonas erosa</i>	24	56.453	
CRYPMARS0	<i>Cryptomonas marsonii</i>	9	5.382	
CRYPOVAT0	<i>Cryptomonas ovata</i>	3	11.436	
CRYPTGEN0	<i>Cryptomonas</i> sp.	2	935	1
PLAGLACU0	<i>Plagioselmis (=Rhodomonas) lacustris</i>	33	2.525	1
PLAGNANN0	<i>Plagioselmis nannoplanctica (=Rhodomonas lacustris var. nannoplanctica)</i>	50	1.970	
	DINOPHYCEAE			
CERAHIRU0	<i>Ceratium hirundinella</i>			1
GYMNUBER0	<i>Gymnodinium uberrimum</i>	3	41.682	
PERIACIC0	<i>Peridinium aciculiferum</i>	2	8.656	
PERIELPA0	<i>Peridiniopsis elpatiewskyi</i>			1
PERIUMBO0	<i>Peridinium umbonatum (=Parvodinium umbonatum)</i>	9	22.437	
	EUGLENOPHYCEAE			
TRACHGEN0	<i>Trachelomonas</i> sp.	2	3.153	
	TOTALES BACILLARIOPHYCEAE	602	277.206	
	TOTALES CHRYSOPHYCEAE	90	10.749	
	TOTALES XANTHOPHYCEAE	5	764	
	TOTALES CHLOROPHYTA	226	11.971	
	TOTALES CYANOBACTERIA	91	48	
	TOTALES CRYPTOPHYCEAE	121	78.701	
	TOTALES DINOPHYCEAE	14	72.776	
	TOTALES EUGLENOPHYCEAE	2	3.153	
	TOTALES ALGAS	1.152	455.368	

Nota: Entre paréntesis se cita el anterior nombre de la especie.

Clases de abundancia	% de presencia
1	<9
2	10-24
3	25-60
4	61-99
5	>99

4.4. Zooplancton

En el análisis de zooplancton de las muestras del embalse de San Lorenzo se han identificado un total de 20 especies, distribuidas en los siguientes grupos taxonómicos:

- 2 Cladocera
- 1 Copepoda
- 17 Rotifera

La estructura y composición de la comunidad de zooplancton se resume en la tabla 4:

Tabla 4. Estructura y composición de la comunidad de zooplancton.

PARÁMETRO	UNIDAD	VALOR
PROFUNDIDAD	m	8,0
DENSIDAD TOTAL	individuos/L	40,38
BIOMASA TOTAL	µg/L	7,08
Diversidad Shannon-Wiener		3,48
CLASE PREDOMINANTE (DENSIDAD)		Rotíferos
individuos/L		35,58
ESPECIE PREDOMINANTE (DENSIDAD)		<i>Keratella cochlearis tecta</i>
individuos/L		13,85
CLASE PREDOMINANTE (BIOMASA)		Cladóceros
µg/L		4,23
ESPECIE PREDOMINANTE (BIOMASA)		<i>Bosmina longirostris</i>
µg/L		4,00
COLUMNA AGUA INTEGRADA (red vertical)		0 - 8 m
CLADÓCEROS: 4,01 %	COPÉPODOS: 1,76 %	ROTÍFEROS: 94,23 %

La composición detallada de la población zooplanctónica presente en la muestra cuantitativa de zooplancton indicando la densidad y biomasa, y el porcentaje de las especies presentes en la muestra integrada de la red vertical, se muestran en la tabla 5:

Tabla 5. Composición detallada de la comunidad de zooplancton.

CÓDIGO	COMPOSICIÓN	ABUNDANCIA	BIOMASA	PORCENTAJE
TAXÓN	ZOOPLANCTON	Ind./L	mg/L	%
	CLADÓCEROS			
BOSMLONG0	<i>Bosmina longirostris</i>	3,08	4,00	1,50
CERIPULC0	<i>Ceriodaphnia pulchella</i>	0,19	0,23	1,50
DAPHNGEN0	<i>Daphnia</i> sp.			0,50
SIDACRYS0	<i>Sida crystalina</i>			0,50
	COPÉPODOS			
ACANAMER0	<i>Acanthocyclops americanus</i>			0,01
CYCLOPFAM	Ciclópedo	1,54	0,23	1,75
	ROTÍFEROS			
ASCOOVAL0	<i>Ascomorpha ovalis</i>	0,77	0,05	1,50
ASPLPRIO0	<i>Asplanchna priodonta</i>			1,50
BRACAANU1	<i>Brachionus calyciflorus anuraeiformis</i>			1,50
BRACQUAD0	<i>Brachionus quadridentatus</i>	1,54	0,51	1,50
COLUOBTU0	<i>Colurella obtusa</i>	0,77	0,02	0,01
CONONATA0	<i>Conochilus natans</i>	0,77	0,08	0,01
FILILONG0	<i>Filinia longiseta</i>	2,31	0,17	3,01
HEXAFENN0	<i>Hexarthra fennica</i>			30,07
KELLOLON1	<i>Kellicotia longispina longispina</i>	0,77	0,04	
KERACOCHO	<i>Keratella cochlearis</i>	1,54	0,08	7,52
KERCOTEC1	<i>Keratella cochlearis tecta</i>	13,85	0,69	18,04
LECAFURC0	<i>Lecane furcata</i>	0,77	0,03	0,01
LECALUNI0	<i>Lecane lunaris</i>	0,19	0,01	0,01
LECAPYRI0	<i>Lecane puriformis</i>	0,77	0,04	0,01
POLYDOLI0	<i>Polyarthra dolichoptera</i>	4,62	0,24	18,04
POLYMAJO0	<i>Polyarthra major</i>	0,77	0,10	6,01
SYNCKITIO	<i>Synchaeta kitina</i>	2,31	0,12	1,50
SYNCLONG0	<i>Synchaeta longipes</i>	0,58	0,19	1,00
SYNCOBLO0	<i>Synchaeta oblonga</i>	1,54	0,08	1,50
SYNCSTYLO	<i>Synchaeta stylata</i>	1,73	0,18	1,50
	Total Cladóceros	3,27	4,23	4,01
	Total Copépodos	1,54	0,23	1,76
	Total Rotíferos	35,58	2,62	94,23
	Total	40,38	7,08	100

5. DIAGNÓSTICO DEL GRADO TRÓFICO

Se han considerado los indicadores especificados en la tabla 6, estableciéndose el estado trófico global del embalse según la metodología descrita en la sección 5 de la MEMORIA DEL ESTUDIO.

Tabla 6. Parámetros indicadores y rangos de estado trófico.

Parámetros Estado Trófico	Ultraoligotrófico	Oligotrófico	Mesotrófico	Eutrófico	Hipereutrófico
Concentración P ($\mu\text{g P/L}$)	0-4	4-10	10-35	35-100	>100
Disco de Secchi (m)	>6	6-3	3-1,5	1,5-0,7	<0,7
Clorofila a ($\mu\text{g/L}$) epilimnion	0-1	1-2,5	2,5-8	8,0-25	>25
Densidad algal (cel./ml)	<100	100-1000	1000-10000	10000-100000	>100000
VALOR PROMEDIO FINAL	> 4,2	3,4 – 4,2	2,6 – 3,4	1,8 – 2,6	< 1,8

En la tabla 7 se incluye el estado trófico indicado por cada uno de los parámetros, así como la catalogación de la masa de agua según la valoración de este estado trófico final.

Tabla 7. Diagnóstico del estado trófico del embalse de San Lorenzo.

INDICADOR	VALOR	ESTADO TRÓFICO
P TOTAL	13,51	Mesotrófico
CLOROFILA a	3,25	Mesotrófico
DISCO SECCHI (DS)	2,20	Mesotrófico
DENSIDAD ALGAL	1152	Mesotrófico
ESTADO TRÓFICO FINAL	3,00	MESOTRÓFICO

Atendiendo a todos los criterios seleccionados, (fósforo total (PT), concentración de clorofila a, transparencia (DS) y densidad algal) clasifican el embalse como mesotrófico. Combinando todos los indicadores el estado trófico final para el embalse de SAN LORENZO ha resultado ser **MESOTRÓFICO**.

6. DIAGNÓSTICO DEL POTENCIAL ECOLÓGICO

a) Aproximación experimental (*PEexp*)

Se han considerado los indicadores especificados en la tabla 8, estableciéndose el potencial ecológico del embalse según la metodología descrita en la sección 6.3, apartado a) de la MEMORIA DEL ESTUDIO.

Tabla 8. Parámetros y rangos para la determinación del potencial ecológico experimental.

Indicador	Elementos	Parámetros	Bueno o superior	Moderado	Deficiente	Malo	
Biológico	Fitoplancton	Densidad algal (cel/ml)	< 10 ³	10 ³ -10 ⁴	10 ⁴ -10 ⁵	>10 ⁵	
		Biomasa algal, Clorofila a (µg/L)	< 2,5	2,5-8	8,0-25	>25	
		Biovolumen algal (mm ³ /L)	< 0,5	0,5-2	2-8	>8	
		<i>Phytoplankton Assemblage Index (Q)</i>	> 3	2-3	1-2	<1	
		<i>Trophic Index (TI)</i>	< 2,79	2,79-3,52	3,52-4,25	>4,25	
		<i>Phytoplankton Trophic Index (PTI)</i>	> 3,4	2,6-3,4	1,8-2,6	<1,8	
	<i>Phytoplankton Reservoir Trophic Index (PRTI)</i>	< 6,6	6,6-9,4	9,4-12,2	>12,2		
Zooplancton	<i>Zooplankton Reservoir Trophic Index (ZRTI)</i>	< 6,6	6,6-9,4	9,4-12,2	>12,2		
INDICADOR BIOLÓGICO (1)			>3,4	2,6-3,4	1,8 - 2,6	< 1,8	
Indicador	Elementos	Parámetros	Muy bueno	Bueno	Moderado	Deficiente	Malo
Fisicoquímico	Transparencia	Disco de Secchi (m)	>6	3-6	1, 5 -3	0, 7 -1,5	<0, 7
	Oxigenación	Concentración O ₂ (mg O ₂ /L)	>8	8-6	6-4	4-2	<2
	Nutrientes	Concentración de PT (µg P/L)	0-4	4-10	10-35	35-100	>100
INDICADOR FISICOQUÍMICO (2)			Muy bueno	Bueno	Moderado		
			>4,2	3,4-4,2	<3,4		

(1) La valoración del indicador biológico se obtiene asignando la calificación del elemento de menor puntuación (fitoplancton o zooplancton) o peor calidad, según la metodología *one out, all out*.

(2) La valoración del indicador fisicoquímico se obtiene asignando la calificación del elemento de menor puntuación o peor calidad, según la metodología *one out, all out*.

La combinación de los dos indicadores, fisicoquímico y biológico, para la obtención del potencial ecológico experimental final sigue el esquema de decisiones indicado en la tabla 9:

Tabla 9. Combinación de los indicadores.

Indicador Biológico	Indicador Físicoquímico	Potencial Ecológico Experimental
Bueno o superior	Muy bueno	Bueno o superior
Bueno o superior	Bueno	Bueno o superior
Bueno o superior	Moderado	Moderado
Moderado	Indistinto	Moderado
Deficiente	Indistinto	Deficiente
Malo	Indistinto	Malo

En la tabla 10 se incluye el potencial indicado por cada uno de los parámetros e indicadores, así como la catalogación de la masa de agua según el potencial ecológico final.

Tabla 10. Diagnóstico del potencial ecológico del embalse de San Lorenzo.

Indicador	Elementos	Parámetros	Valor	Potencial
Biológico	Fitoplancton	Densidad algal (cel./ml)	1152	Moderado
		Clorofila a (µg/L)	3,25	Moderado
		Biovolumen algal (mm ³ /L)	0,46	Bueno o superior
		<i>Phytoplankton Assemblage Index (Q)</i>	4,27	Bueno o superior
		<i>Phytoplankton Trophic Index (PTI)</i>	3,79	Bueno o superior
		<i>Trophic Index (TI)</i>	2,68	Bueno o superior
	Phytoplankton Reservoir Trophic Index (PRTI)	5,83	Bueno o superior	
Zooplancton	Zooplankton Reservoir Trophic Index (ZRTI)	9,45	Deficiente	
INDICADOR BIOLÓGICO			2,0	DEFICIENTE
Físicoquímico	Transparencia	Disco de Secchi (m)	2,20	Moderado
	Oxigenación	O ₂ hipolimnética (mg O ₂ /L)	8,11	Máximo
	Nutrientes	Concentración de PT (µg P/L)	13,51	Moderado
INDICADOR FÍSICOQUÍMICO			2,0	BUENO
POTENCIAL ECOLÓGICO PExp				DEFICIENTE

b) Aproximación normativa (*PE_{norm}*)

Se han considerado los indicadores, los valores de referencia y los límites de clase B⁺/M (Bueno o superior/Moderado), M/D (Moderado/Deficiente) y D/M (Deficiente/Malo), así como sus ratios de calidad ecológica (RCE), especificados en las tablas 11 y 12, estableciéndose el potencial ecológico del embalse según la metodología descrita en la sección 6.3, apartado b) de la MEMORIA DEL ESTUDIO.

Tabla 11. Valores de referencia propios del tipo (VR_t) y límites de cambio de clase de potencial ecológico de los indicadores de los elementos de calidad de embalses (RD 817/2015).

Tipo	Elemento	Parámetro	Indicador	VR _t	B ⁺ /M (RCE)	M/D (RCE)	D/M (RCE)
Tipo 1	Fitoplancton	Biomasa	Clorofila <i>a</i> mg/m ³	2,00	0,211	0,14	0,07
			Biovolumen mm ³ /L	0,36	0,189	0,126	0,063
		Composición	Índice de Catalán (IGA)	0,10	0,974	0,649	0,325
			Porcentaje de cianobacterias	0,00	0,908	0,607	0,303
Tipo 7	Fitoplancton	Biomasa	Clorofila <i>a</i> mg/m ³	2,60	0,433	0,287	0,143
			Biovolumen mm ³ /L	0,76	0,362	0,24	0,12
		Composición	Índice de Catalán (IGA)	0,61	0,982	0,655	0,327
			Porcentaje de cianobacterias	0,00	0,715	0,48	0,24
Tipo 9	Fitoplancton	Biomasa	Clorofila <i>a</i> mg/m ³	2,60	0,433	0,287	0,143
			Biovolumen mm ³ /L	0,76	0,362	0,24	0,12
		Composición	Índice de Catalán (IGA)	0,61	0,982	0,655	0,327
			Porcentaje de cianobacterias	0,00	0,715	0,48	0,24
Tipo 10	Fitoplancton	Biomasa	Clorofila <i>a</i> mg/m ³	2,60	0,433	0,287	0,143
			Biovolumen mm ³ /L	0,76	0,362	0,24	0,12
		Composición	Índice de Catalán (IGA)	0,61	0,982	0,655	0,327
			Porcentaje de cianobacterias	0,00	0,715	0,48	0,24
Tipo 11	Fitoplancton	Biomasa	Clorofila <i>a</i> mg/m ³	2,60	0,433	0,287	0,143
			Biovolumen mm ³ /L	0,76	0,362	0,24	0,12
		Composición	Índice de Catalán (IGA)	0,61	0,982	0,655	0,327
			Porcentaje de cianobacterias	0,00	0,715	0,48	0,24
Tipo 12	Fitoplancton	Biomasa	Clorofila <i>a</i> mg/m ³	2,40	0,195	0,13	0,065
			Biovolumen mm ³ /L	0,63	0,175	0,117	0,058
		Composición	Índice de Catalán (IGA)	1,50	0,929	0,619	0,31
			Porcentaje de cianobacterias	0,10	0,686	0,457	0,229
Tipo 13	Fitoplancton	Biomasa	Clorofila <i>a</i> mg/m ³	2,10	0,304	0,203	0,101
			Biovolumen mm ³ /L	0,43	0,261	0,174	0,087
		Composición	Índice de Catalán (IGA)	1,10	0,979	0,653	0,326
			Porcentaje de cianobacterias	0,00	0,931	0,621	0,31

Tabla 12. Parámetros, rangos del RCE y valores para la determinación del potencial ecológico normativo.

			RANGOS DEL RCE				
Indicador	Elementos	Parámetros	Bueno o superior	Moderado	Deficiente	Malo	
Biológico	Fitoplancton	Clorofila a (µg/L)	≥ 0,433	0,432 – 0,287	0,286 – 0,143	< 0,143	
		Biovolumen algal (mm ³ /L)	≥ 0,362	0,361 – 0,24	0,23 – 0,12	< 0,12	
		Índice de Catalán (IGA)	≥ 0,982	0,981 – 0,655	0,654 – 0,327	< 0,327	
		Porcentaje de cianobacterias	≥ 0,715	0,714 – 0,48	0,47 – 0,24	< 0,24	
			Bueno o superior	Moderado	Deficiente	Malo	
INDICADOR BIOLÓGICO			> 0,6	0,4-0,6	0,2-0,4	< 0,2	
			RANGOS DE VALORES				
Indicador	Elementos	Parámetros	Muy bueno	Bueno	Moderado	Deficiente	Malo
Fisicoquímico	Transparencia	Disco de Secchi (m)	>6	3-6	1, 5 -3	0, 7 -1,5	<0, 7
	Oxigenación	O ₂ hipolimnética (mg O ₂ /L)	>8	8-6	6-4	4-2	<2
	Nutrientes	Concentración de PT (µg P/L)	0-4	4-10	10-35	35-100	>100
			Muy bueno	Bueno	Moderado		
INDICADOR FISICOQUÍMICO			>4,2	3,4-4,2	<3,4		

La combinación de los dos indicadores, fisicoquímico y biológico, para la obtención del potencial ecológico normativo final sigue el esquema de decisiones indicado en la tabla 13:

Tabla 13. Combinación de los indicadores.

Indicador Biológico	Indicador Fisicoquímico	Potencial Ecológico Experimental
Bueno o superior	Muy bueno	Bueno o superior
Bueno o superior	Bueno	Bueno o superior
Bueno o superior	Moderado	Moderado
Moderado	Indistinto	Moderado
Deficiente	Indistinto	Deficiente
Malo	Indistinto	Malo

En la tabla 14 se incluye el potencial indicado por cada uno de los parámetros, así como la catalogación de la masa de agua según el potencial ecológico final (*PE_{norm}*) tras pasar el filtro del indicador fisicoquímico.

Tabla 14. Diagnóstico del potencial ecológico (*PE_{norm}*) del embalse de San Lorenzo.

Indicador	Elementos	Parámetro	Indicador	Valor	RCE	RCET	<i>PE_{norm}</i>
Biológico	Fitoplancton	Biomasa	Clorofila a (µg/L)	3,25	0,80	0,86	Bueno o superior
			Biovolumen algal (mm ³ /L)	0,46	1,67	1,42	Bueno o superior
			Media			1,14	
		Composición	<i>Índice de Catalán (IGA)</i>	0,26	1,001	1,02	Bueno o superior
			<i>Porcentaje de cianobacterias</i>	0,0014	1,00	1,00	Bueno o superior
			Media			1,01	
Media global						1,07	
INDICADOR BIOLÓGICO					1,07		BUENO o SUPERIOR
<hr/>							
Indicador	Elementos	Indicador	Valor			<i>PE_{norm}</i>	
Fisicoquímico	Transparencia	Disco de Secchi (m)	2,20			Moderado	
	Oxigenación	O ₂ hipolimnética (mg O ₂ /L)	8,11			Muy bueno	
	Nutrientes	Concentración de PT (µg P/L)	13,51			Moderado	
INDICADOR FISICOQUÍMICO				3			MODERADO
POTENCIAL ECOLÓGICO <i>PE_{norm}</i>				MODERADO			

ANEXO I. REPORTAJE FOTOGRÁFICO



Figura 7. Vista de la cola del embalse



Figura 8. Vista del punto de acceso al embalse